

ارائه روشی مبتنی بر ترکیب و رأی‌گیری

با هدف تحلیل مشاهدات ماهانه ایستگاه‌های پایش کیفیت هوا

با استفاده از تصاویر ماهواره‌ای

مطالعه موردی: شهرستان اراک

متین شهری^۱

محمدامین قنادی^۱

تاریخ پذیرش مقاله: ۱۴۰۰/۱۰/۲۴

تاریخ دریافت مقاله: ۱۴۰۰/۰۷/۱۶

چکیده

یکی از مهم‌ترین چالش‌های امروز در دنیا و ایران افزایش آلودگی هوا ناشی از افزایش جمعیت، توسعه صنعتی و تغییرات اقلیمی است. از این‌رو پایش کیفیت هوای شهرها به صورت مستمر امری ضروری به نظر می‌رسد. از اصلی‌ترین تجهیزات پایش آلودگی هوا، ایستگاه‌های زمینی پایش کیفیت هوای می‌باشند. مشاهدات پایش کیفیت هوا با استفاده از ایستگاه‌های زمینی به علت تراکم پایین، توزیع مکانی غیریکنواخت، لزوم نگهداری و کالیبراسیون منظم و دوره‌ای و نیاز برم به مکانیابی بهینه برای نصب، گاهی اوقات دچار اختلال می‌شود و اینگونه به نظر می‌رسد که صحت برخی مشاهدات مبهم می‌باشند. در کنار ایستگاه‌های زمینی، تصاویر ماهواره‌ای نیز به منظور پایش کیفیت هوا قابل استفاده می‌باشند. این تصاویر هیچکدام از نقاط ضعف ایستگاه‌های زمینی پایش را ندارند و نتایج صحیحی ارائه می‌دهند، اگرچه قدرت تفکیک زمانی و دقت اندازه‌گیری پایین‌تری دارند. در این مطالعه هدف مقایسه مشاهدات صورت گرفته توسط ایستگاه‌های پایش کیفیت هوا با مشاهدات ماهواره ستیل-۵ و آنالیز آن‌ها می‌باشد. از این‌رو روشی مبتنی بر ترکیب و رأی‌گیری از مشاهدات ارائه می‌شود. روش پیشنهادی بر روی چهار آلینده دی‌اکسید نیتروژن، دی‌اکسید گوگرد، مونوکسید کربن و ازن پایش شده از چهار ایستگاه مخابرات، محیط زیست، شریعتی و استانداری شهرستان اراک در بازه زمانی ۱۹ ماهه از مهر ماه ۱۳۹۸ الی فروردین ۱۴۰۰ (بجز ماه‌هایی که ایستگاه‌های زمینی مشاهداتی ثبت نکرده‌اند) پیاده‌سازی شده است. نتایج آزمایش‌ها نشان می‌دهد که در صحت برخی از مشاهدات زمینی تردید وجود دارد که می‌تواند ناشی از عدم سلامت و یا کالیبراسیون منظم این دستگاه‌ها و یا عدم مکانیابی ایده‌آل آن‌ها باشد. با حذف مشاهدات ناصحیح از مجموعه مشاهدات زمینی، خطای جذر میانگین مربعات از ۰.۲٪ تا ۴.۷٪ بهبود حاصل می‌یابد.

واژه‌های کلیدی: آلودگی هوا، ایستگاه‌های زمینی پایش کیفیت هوا، تصاویر ماهواره ستیل-۵

۱- دکتری فنوتکنیک و سنجش از دور، عضو هیات علمی گروه مهندسی نقشه‌برداری، دانشکده مهندسی علوم زمین، دانشگاه صنعتی اراک (نویسنده مسئول)
m.ghannadi@arakut.ac.ir

۲- دکتری حمل و نقل و ترافیک، عضو هیات علمی گروه مهندسی نقشه‌برداری، دانشکده مهندسی علوم زمین، دانشگاه صنعتی اراک
shahri@arakut.ac.ir

۱- مقدمه

باشند بسیار کاربردی می‌باشند و برای سنجش آلاینده‌ها با دقت کافی استفاده می‌شوند. از جمله مزایای استفاده از تجهیزات سنجش آلودگی هوا با قرائت مستقیم می‌توان به برآورد فوری غلظت آلودگی و امكان محاسبه میانگین‌های کوتاه‌مدت به صورت آنی، استفاده برای مدیریت بحران و اعلام هشدار، عدم نیاز به آزمایش‌های دستی و امكان ذخیره و پردازش به صورت آنی، اشاره نمود. همچنین از جمله محدودیت‌های این تجهیزات، قیمت بالا، نیاز به کالیبراسیون به صورت پیوسته و دوره‌ای، کمیاب بودن مواد مورد نیاز و غیرقابل حمل بودن این تجهیزات می‌باشد. ایستگاه‌های زمینی پایش کیفیت هوای محیط با استفاده از تحلیل‌گرهای پایش پیوسته آلاینده‌های هوا، به عنوان یکی از کارآمدترین سیستم‌های پایش لحظه‌ای با قرائت مستقیم و در دسته تجهیزات ابزار دقیق قرار می‌گیرند و لذا می‌باشد به طور مناسب و سیستماتیک از آن‌ها محافظت و نگهداری شود و کالیبراسیون دوره‌ای آن‌ها صورت پذیرد (سپهرنیا، ۱۳۹۴). تصویری از یک ایستگاه پایش آلودگی هوا در نگاره (۱) نشان داده شده است.

تعیین مقدار آلاینده هوا، مستلزم تعیین دقیق غلظت آلاینده‌ها می‌باشد. غلظت آلاینده‌ها معمولاً بر حسب جرم آلاینده موجود در واحد حجم گاز بیان می‌شود. شبکه‌های پایش کیفیت هوا برای اندازه‌گیری غلظت آلاینده‌های هوا در دوره‌های زمانی کمتر یا مساوی ۲۴ ساعت و همچنین برای توسعه دراز مدت (مساوی یا بیش از ۲۴ ساعت) تشکیل شده است (سپهرنیا، ۱۳۹۴).

متأسفانه در ایران ایستگاه‌های پایش کیفیت هوا به لحاظ تعداد، تراکم و یکنواختی مکانی شرایط مناسبی ندارند. در بسیاری از شهرهای ایران حتی یک ایستگاه پایش هوا وجود ندارد و در بسیاری از شهرها نیز تنها یک ایستگاه وجود دارد. نکته قابل تأمل این است که حتی در شهری مثل اراک به عنوان مرکز استان مرکزی و شهری صنعتی، تنها چهار ایستگاه پایش وجود دارد و این در حالی است که در بسیاری از زمان‌ها همه آن‌ها در وضعیت فعل قرار ندارند.

امروزه آلودگی هوا یکی از اصلی‌ترین و مهم‌ترین مشکلات کره زمین به شمار می‌رود و نقش عمده‌ای در تغییرات سراسری اقلیم در دنیا دارد. طبق گزارش سازمان بهداشت جهانی، آلودگی هوا منجر به وقوع سالانه حدود ۳ میلیون مرگ در سراسر جهان می‌شود (*Lelieveld et al., 2015*). بیش از نیمی از این آمار مربوط به کشورهای در حال توسعه (بیش از نیم میلیون فقط در کشور هند) می‌باشد (*Chowdhury et al., 2016; Ghude & Dey, 2016; Caiazzo et al., 2013*) کشورهای پیشرفته صنعتی (به عنوان مثال ایالات متحده) نیز باعث مرگ زودهنگام می‌شود.

عواملی همچون رشد جمعیت و پیرو آن افزایش خودرو و همچنین افزایش روند صنعتی شدن و تقاضای انرژی مربوط به آن در بسیاری از کشورها منجر به افزایش روند آلودگی به خصوص در کلان‌شهرهای کشورهای صنعتی شده است. نقش صنعت و حمل و نقل در میزان آلوده نمودن هوا به شکلی است که در سال ۲۰۲۰ میلادی به علت شیوع اپیدمی کرونا، در بسیاری از کشورهای دنیا غلظت آلاینده‌ها در قیاس با سال‌های قبل از آن روندی نزولی به خود گرفت (*Bray et al., 2021; Fan et al., 2020; Ghahremanloo et al., 2021; Islam et al., 2021*). لذا اندازه‌گیری دقیق آلاینده‌های هوا با قدرت تفکیک مکانی و زمانی بالا در سطح محلی، منطقه‌ای و جهانی برای تعیین چگونگی توزیع و اثرگذاری آن‌ها و همچنین، ارائه راهکارهایی برای مدیران در سطح محلی، ملی و بین‌المللی امری ضروری محسوب می‌شود (*Saxena & Naik, 2018*).

پس از تعیین اهداف پایش تنها با بهره‌گیری از تکنولوژی‌های مناسب برای نمونه‌برداری، آنالیز و اندازه‌گیری غلظت آلاینده‌ها، می‌توان ارزیابی مطلوب و منطقی از وضعیت کیفیت هوا داشت. برخی تجهیزات از روش‌های اندازه‌گیری مستقیم آلاینده‌ها استفاده می‌کنند. این تجهیزات نیازی به ارسال نمونه به آزمایشگاه شیمی و انجام عملیات بعدی ندارند و اگر خوب کالیبره شده

فصلنامه علمی - پژوهشی اطلاعات جغرافیایی (سمر)

ارائه روشی مبتنی بر ترکیب و رأی‌گیری با هدف تحلیل مشاهدات ماهانه ایستگاه‌های پایش ... / ۲۵



نگاره ۱: نمای بیرونی و درون یک ایستگاه زمینی پایش کیفیت هوا (سپهرنیا، ۱۳۹۴)

دارد و از نتایج مشاهدات صورت گرفته، حذف نشده‌اند. معمولاً اینگونه است که عدم رسیدگی منظم و کالیبراسیون دوره‌ای ایستگاه‌های پایش کیفی هوا در شهرهای کوچک‌تر بیشتر باشد.

در این مطالعه، هدف مقایسه مشاهدات ایستگاه‌های زمینی پایش کیفیت هوا با مشاهدات ماهواره‌ای ستیبل-۵ می‌باشد. این مقایسه در مطالعات گذشته نیز صورت گرفته است (*Ialongo et al., 2020*). مشاهدات ماهواره‌ای در قیاس با ایستگاه‌های زمینی پایش دارای مزایا و معایبی می‌باشد که در ادامه به آن اشاره خواهد شد. مهم‌ترین مزیت داده‌های ماهواره‌ای این است که در لحظه کیفیت هوا در منطقه وسیعی مشاهده می‌شود و می‌توان غلظت آلاینده‌ها را به صورت آنی برای منطقه وسیعی پایش نمود. اما ایستگاه‌های زمینی به صورت نقطه‌ای با تراکم پایین و احتمالاً یکنواخت و توزیع نامناسب مشاهدات را انجام می‌دهند. از دیگر مزایای مشاهدات ماهواره‌ای عدم نیاز به فرآیندهای نگهداری کوتاه‌مدت (مانند کالیبراسیون) و عدم وجود بی‌نظمی‌های محلی ناشی از مکانیابی نامناسب می‌باشد. از طرفی مشاهدات ماهواره‌ای برخلاف مشاهدات ایستگاه‌های زمینی قدرت تفکیک زمانی پایین‌تری دارد و در روز دو الی سه مشاهده بیشتر انجام نمی‌دهند. همچنین

در نگاره (۲) پراکندگی این ایستگاه‌ها نمایش داده شده است که نشان می‌دهد توزیع مکانی مناسبی در استقرار آن‌ها وجود ندارد.

بررسی و صحبت‌سنگی داده‌های کیفیت هوا توسط کارشناسان پس از تولید، روال مرسوم است که در همه‌جای دنیا انجام می‌شود. ممکن است ایستگاهی به دلایل مختلف داده‌های غیرقابل قبول تولید کند و کارشناسان پس از بازبینی داده‌ها، مقداری غیرواقعی که بیانگر شاخص قابل قبولی از کیفیت هوا در محدوده ایستگاه نباشد را تأیید نکنند و این داده‌های نادرست از طریق بازبینی کارشناسان، شناسایی و حذف شوند. اثرات ساختمندان، عوارض زمین، منابع گرمایی و عوامل هواشناسی می‌تواند بی‌نظمی‌های محلی در غلظت‌های زیاد آلاینده تولید نماید. این موارد باید در شناسایی محل جغرافیایی مکان پایش در نظر گرفته شود (سپهرنیا، ۱۳۹۴). عدم کالیبراسیون به موقع این ایستگاه‌ها نیز موجب مختل شدن نتایج پایش کیفیت هوا می‌شود. در این موقع این داده‌ها از نتایج حذف می‌شوند و یا ایستگاه توسط مسئولین ذیربطر در وضعیت غیرفعال قرار می‌گیرد (به عنوان نمونه به مدت یک هفته یا یک‌ماه). گاهی اوقات نیز به لحاظ شهودی این گونه به نظر می‌رسد که داده‌های ناصحیح در میان مشاهدات این ایستگاه‌ها وجود

صورت گرفته است که نشان می‌دهد روند کلی تغییرات غلظت ماهانه دی‌اکسید نیتروژن مشاهده شده با هر دو ابزار رفتاری مشابه و بایاس اندکی دارد. این در حالی است که در مطالعات دیگری نیز صحت مشاهدات سنجنده TROPOMI و اعتمادپذیری آن مورد بررسی قرار گرفته است (Borsdorff, 2018, Cooper, 2020). مقایسه نتایج مطالعات فوق در کره جنوبی و فنلاند با مشاهدات ایستگاه‌های پایش کیفیت هوای شهرستان اراک که در نمودار نگاره (۳) نشان داده شده است، بیانگر ضرورت انجام این گونه از پژوهش‌ها می‌باشد.

به طور کلی، انواع مختلفی از آلاینده‌ها در اتمسفر وجود دارد که اثرات جدی آن‌ها بر کیفیت هوای محیط زیست، سلامتی انسان و اقلیم به یکی از مهم‌ترین نگرانی‌های قرن ۲۱ تبدیل شده است. مهم‌ترین آلاینده‌های هوای دی‌اکسید گوگرد (SO_2)، دی‌اکسید کربن (CO_2)، مونوکسید کربن (CO)، اکسیدهای نیتروژن (NOX)، ازن (O_3)، متان (CH_4)، کربن‌های آلی ناپایدار، کلروفلئورکربن‌ها (CFC) و ذرات معلق^۲ یا همان آثروسل‌ها^۳ می‌باشند (Saxena and Naik, 2018). آلاینده‌های مورد مطالعه در این پژوهش، CO , NO_2 , SO_2 و O_3 می‌باشند. در ادامه مختصراً درباره هر کدام از این آلاینده‌ها توضیح داده خواهد شد.

در بین آلاینده‌های مختلف موجود در اتمسفر، اکسیدهای نیتروژن به عنوان یکی از مهم‌ترین آلاینده‌ها و گازهای سمی مطرح هستند (Park et al., 2020, Dickerson et al., 2019). سالانه میلیون‌ها تن دی‌اکسید نیتروژن و اکسید نیتروژن در اثر فعالیت‌های انسانی به‌ویژه مصرف سوخت‌های فسیلی در دماهای بالا تولید می‌شود (Ghannadi et al., 2021). دی‌اکسید نیتروژن در ترکیب با هوای مرطوب، تولید اسیدنیتریک می‌کند که موجب پوسیدگی شدید فلزات می‌شود. همچنین در غلظت‌های بالا باعث ایجاد محدود شده و میدان دید را به شدت کاهش می‌دهد (Park et al., 2020). اکسیدهای نیتروژن به عنوان گازهای گلخانه‌ای غیرمستقیم

دقت اندازه‌گیری آلاینده‌ها در ایستگاه‌های پایش زمینی بالاتر از مشاهدات ماهواره‌ای می‌باشد. در مجموع می‌توان اینگونه ادعا نمود که مشاهدات ماهواره‌ای دارای صحت بالا ولی دقیق‌تری نسبت به ایستگاه‌های پایش می‌باشند. می‌توان با مقایسه مشاهدات ماهواره‌ای که صحت بالاتری نسبت به ایستگاه‌های زمینی دارند (به دلایلی از جمله امکان عدم کالیبره‌بودن ایستگاه زمینی و وجود بی‌نظمی‌های محیطی و به تبع آن نتایج ناصحیح و در این مورد مطالعه خاص) مقادیر احتمالی اشتباہ پایش شده توسط ایستگاه‌های زمینی را تعیین نمود.

نویسنده‌گان در این پژوهش نگاهی جدید و چالش برانگیز به مسئله دارند و سعی می‌کنند ضرورت بهبود ایستگاه‌های زمینی پایش آلاینده‌های هوای چه به لحاظ جانمایی صحیح (استفاده از روش‌های معتبر مبتنی بر سیستم اطلاعات مکانی^۴) چه به لحاظ افزایش تعداد و پراکندگی مطلوب در سطح شهرهای کشور و انجام کالیبراسیون‌های منظم و نگهداری مطلوب از این ایستگاه‌ها را با نشان دادن مشاهدات ناسازگار ایستگاه‌های زمینی پایش کیفیت هوای هشدار دهنده.

برای اثبات ادعای مطرح شده در ارتباط با وجود ناسازگاری میان برخی مشاهدات مربوط به پایش آلاینده‌ها به‌وسیله ایستگاه‌های زمینی و مشاهدات ماهواره‌ای در منطقه مورد مطالعه این مقاله، چند نمونه از مطالعات دو سال اخیر بررسی می‌شوند. در مطالعه‌ای که توسط ژئونگ و هونگ از دانشگاه مریلند آمریکا صورت گرفته است، سازگاری میانگین غلظت ماهانه دی‌اکسید نیتروژن مشاهده شده توسط شبکه زمینی پایش وزارت محیط زیست کره جنوبی با مشاهدات ماهواره‌ای در سال ۲۰۱۹ مورد بررسی قرار گرفته است که نشان می‌دهد که بایاس ناچیزی میان مشاهدات صورت گرفته وجود دارد (Jeong & Hong, 2021). در مطالعه‌ای مشابه نیز این مقایسه میان مشاهدات شبکه پایش زمینی پاندورا و مشاهدات سنتینل-۵ در هلسینکی فنلاند

2- Particulate matter

3- Aerosols

1- GIS

فصلنامه علمی - پژوهشی اطلاعات جغرافیایی (۲۷)

ارائه روشی مبتنی بر ترکیب و رأی‌گیری با هدف تحلیل مشاهدات ماهانه ایستگاه‌های پایش ... ۲۷ /

کربن در جو می‌تواند بر طول عمر متان و تولید دی‌اکسید کربن و ازن تروپوسفری مؤثر واقع شود و از این رو تأثیر مهمی بر تعییرات جهانی اقلیم دارد.

ازن طبیعی بیشتر در استراتوسفر در ارتفاع ۱۵ تا ۵۰ کیلومتری از سطح زمین وجود دارد. تشکیل آن با فوتون‌های اشعه فرابنفش با طول موج کمتر از ۲۴۲ نانومتر بر مولکول‌های اکسیژن صورت می‌پذیرد. این لایه ازن که بعضی اوقات به آن ازن خوب گفته می‌شود، در حقیقت ۹۰ درصد ازن جو کره زمین را تشکیل می‌دهد. در تروپوسفر هم ازن طبیعی وجود دارد. قسمتی از این ازن از استراتوسفر به طبقات پایین‌تر نفوذ کرده است. این تبادل ازن بین ۳۰ الی ۴۰ درصد ازن تروپوسفر را شامل می‌شود. در واکنش شیمیایی فوتولیز، مولکول‌های دی‌اکسید نیتروژن به مونوکسید نیتروژن تبدیل می‌شوند. اتم O آزاد شده از این واکنش می‌تواند با یک مولکول اکسیژن (O₂) واکنش نشان دهد و به ازن (O₃) تبدیل شود. بنابراین بخشی از ازن سطح زمین، اینگونه با دی‌اکسید نیتروژن در ارتباط است (Saxena & Naik, 2018).

هدف از این پژوهش، ارائه روشی بر پایه ترکیب و رأی‌گیری به منظور صحبت‌سنگی مشاهدات ایستگاه‌های پایش کیفیت هوا با استفاده از تصاویر ماهواره‌ای ستینل-۵ می‌باشد. منطقه مورد مطالعه شهرستان اراک به عنوان یکی از آلوده‌ترین شهرهای کشور است.

مروری بر مطالعات گذشته نیز نشان می‌دهد که تصاویر ستینل-۵ به منظور پایش دی‌اکسید گوگرد (Hedelt et al., 2019; Safarianzengir et al., 2019; Theys et al., 2019) منوکسید کربن (Quesada-Ruiz et al., 2020; Vigouroux et al., 2020) فرمالدهید (Vigouroux et al., 2020) مونوکسید نیتروژن (Lorente et al., 2019; Ialongo et al., 2020; Omrani et al., 2020) دی‌اکسید نیتروژن (Shikwambana et al., 2020; Virghileanu et al., 2020) در مطالعات محققان مختلف مورد استفاده قرار گرفته است.

در ادامه و در بخش ۲، داده‌ها و روش تحقیق توضیح داده می‌شود. بخش ۳ نتایج حاصل از پیاده‌سازی روش

نیز شناخته می‌شوند، زیرا از طریق صاعقه، به تروپوسفر بالایی وارد می‌شود (Grewe et al., 2012, Finney et al., 2016) و با تولید ازن نقش مهمی در گرم شدن کره زمین ایفا می‌کند (Finney et al., 2016, Grewe et al., 2012). این عوامل اثرات نامطلوبی بر سیستم تنفسی انسان گذاشته و همچنین در رشد گیاهان تأثیرات منفی زیادی خواهند گذاشت (Kim et al., 2006, Kampa and Castanas, 2008).

کلیه سوخت‌های فسیلی دارای گوگرد هستند که در جریان احتراق به صورت دی‌اکسید گوگرد وارد هوا می‌شوند. تقریباً همه دی‌اکسید گوگرد انسان ساخت، ناشی از مصرف سوخت‌های فسیلی است. مقدار گوگرد در سوخت‌های مختلف، تفاوت دارد و فرآورده‌های نفتی هم از نظر مقدار گوگرد با هم متفاوتند. نفت کوره یا مازوت ایران بین ۲/۵ الی ۳/۵ درصد و گازوئیل بین ۰/۵ تا ۱ درصد گوگرد دارد ولی گوگرد بنزین ناچیز است. زغال سنگ بین ۱/۰ تا ۴ درصد گوگرد به صورت پیریت آهن (FeS₂) دارد. گوگرد گاز طبیعی در سر چاههای مختلف فرق می‌کند و ممکن است به صورت گاز H₂S، دی‌سولفید کربن (CS₂)، مرکاپتان (CH₃SSCH₃) و دی‌متیل دی‌سولفید (DMDS) باشد. اکثر حالات احیایی ترکیبات گوگرد بعداً در هوا به اکسیده می‌شود. طی سال‌های اخیر، غلظت دی‌اکسید گوگرد در کشورهای صنعتی به علت آنکه در نیروگاه‌ها به جای زغال سنگ بیشتر از گاز طبیعی استفاده می‌کند، کاهش یافته است.

مونوکسید کربن یکی از رایج‌ترین گازهای آلوده‌کننده هوا و البته از سمی‌ترین آن‌هاست. مونوکسید کربن یک گاز بسیار خطرناک است و عمدها از سوختن ناقص کربن تولید می‌شود و تقریباً دو سوم انتشار مونوکسید کربن ناشی از فعالیت‌های انسانی است. از جمله این موارد می‌توان به سوزاندن بقایای محصولات زراعی، احتراق سوخت فسیلی و اکسیداسیون میان اشاره نمود (Saxena & Naik, 2018). به دلیل طول عمر نسبتاً کوتاه، مونوکسید کربن به خوبی در تروپوسفر مخلوط نمی‌شود. با این وجود، انتشار مونوکسید

علاوه بر صنعتی بودن، تراکم نسبتاً بالای جمعیتی (و به قرار می‌گیرد. در نهایت این کار تحقیقاتی در بخش ۴ نتیجه‌گیری می‌شود.

هوازی ارک مؤثر است. یکی از مهم‌ترین آلینده‌ها در ارک دی‌اکسید گوگرد است که شاید مهم‌ترین دلیل آن مازوت سوزی در نیروگاه و پالایشگاه شازند باشد.

۲-۱-داده‌های زمینی

در ارک چهار ایستگاه پایش کیفیت هوا نصب شده است. موقعیت این چهار ایستگاه در نگاره (۲) نشان داده شده است. غلظت آلینده‌های CO , SO_2 , NO_2 و O_3 از ابتدای مهر ۱۳۹۸ تا انتهای فروردین ۱۴۰۰ به مدت ۱۹ ماه به صورت روزانه از ایستگاه‌های محیط زیست، شریعتی، مخابرات و استانداری جمع‌آوری شده است. ضروری است که بیان شود همه آلینده‌ها در همه ایستگاه‌های مورد مطالعه به صورت کامل مشاهده نشده‌اند. در برخی ماه‌های سال یا ایستگاه مشخصی در حالت غیرفعال یا خاموش قرار دارد و یا تعداد بسیار کمی از روزهای یک ماه در حالت فعال است که در این صورت مشاهدات این ماه‌ها از مجموعه داده‌های مورد مطالعه کنار گذاشته شده‌اند.

۲-۲-داده‌های ماهواره‌ای

به منظور پایش غلظت آلینده‌ها در این مقاله از تصاویر سطح سه (L3) سنجنده TROPOMI ماهواره ستینل-۵ استفاده شده است (<https://developers.google.com/earth-engine/datasets/catalog>) و نتایج آن در نمودارهای نگاره (۳) نشان داده شده است.

اصلی‌ترین مأموریت بروزه ماهواره‌ای ستینل، تصویربرداری راداری (*Aljammaz et al., 2021; Ghannadi et al., 2020*) و سوپر طیفی از خشکی (*Phiri et al., 2020*) و اقیانوس‌ها (*Toming et al., 2021*) و پایش جو (*Magro et al., 2017*) می‌باشد. ماهواره ستینل-۵ به عنوان اولین ماهواره مأموریت کوپرنیکوس و یکی از ابزارهای قدرتمند در زمینه پایش اتمسفر می‌باشد. این ماهواره دارای یک طیفسنج به نام

پیشنهادی نمایش داده می‌شود و مورد بحث و بررسی قرار می‌گیرد. در نهایت این کار تحقیقاتی در بخش ۴ نتیجه‌گیری می‌شود.

۲- داده‌ها و روش‌ها

در این بخش ابتدا منطقه مورد مطالعه معرفی می‌شود، سپس داده‌های زمینی و ماهواره‌ای معرفی می‌شوند و در آخر روش پیشنهادی توضیح داده خواهد شد.

۱-۱-منطقه مورد مطالعه

منطقه مورد مطالعه در این پژوهش شهرستان ارک می‌باشد. ارک یکی از کلان‌شهرهای ایران، از بزرگ‌ترین شهرهای مرکز ایران و مرکز استان مرکزی است. جمعیت ارک در سال ۱۳۹۵ خورشیدی حدوداً ۵۲۱ هزار نفر بوده که از این نظر قطب جمعیتی استان مرکزی و هجدهمین شهر پرجمعیت ایران به حساب می‌آید.

شهر ارک دارای زمستان‌های سرد و مرطوب و تابستان‌های گرم و خشک است. کوه‌های پیرامون، تالاب میقان و دشت فراهان در آب و هوای این منطقه مؤثر می‌باشند. از مهم‌ترین صنایع ارک می‌توان به نیروگاه حرارتی شازند، پتروشیمی و پالایشگاه شازند، آلومینیوم‌سازی و ماشین‌سازی اشاره نمود. ارک از لحاظ گوناگونی محصولات صنعتی، نخستین رتبه و از لحاظ وجود صنایع مادر، دومین رتبه را در کشور داشته و به طور کلی یکی از چهار قطب صنعتی کشور محسوب می‌شود. این شهر به واسطه وجود صنایع مادر، با تولید ۸۰٪ تجهیزات انرژی کشور، وجود بزرگ‌ترین کارخانه تولیدکننده آلومینیوم کشور، بزرگ‌ترین ماشین‌سازی کشور، بزرگ‌ترین واگن‌سازی و لوکوموتیوسازی خاورمیانه، بزرگ‌ترین تولیدکننده ماشین‌آلات سنگین در خاورمیانه، بزرگ‌ترین تولیدکننده جرثقیل در خاورمیانه و بزرگ‌ترین شرکت املاح معدنی کشور، به عنوان پایتخت صنعتی ایران شناخته شده است و به همین دلیل یکی از آلوده‌ترین شهرهای ایران است.

فصلنامه علمی - پژوهشی اطلاعات جغرافیایی (GEO)

ارائه روشی مبتنی بر ترکیب و رأی‌گیری با هدف تحلیل مشاهدات ماهانه ایستگاه‌های پایش ...

۲۹ /



نگاره ۲: موقعیت مکانی ایستگاه‌های پایش کیفیت هوای شهرستان اراک

هستند (Shikwambana et al., 2020). در این پژوهش، از تعداد بالایی تصویر سطح سه که از طریق موتور گوگل ارث^۱ از مهر ۱۳۹۸ تا فروردین ۱۴۰۰ فراخوانی شده‌اند، استفاده شده است. باندهای تصویری مورد استفاده در این مطالعه برای استخراج آلاینده‌های مختلف در جدول (۱) معرفی شده‌اند.

TROPOMI بوده که تابش اشعه ماوراء بنفش زمین را در طیفی بالا اندازه‌گیری می‌کند. از جمله اهداف سنتینل-۵، اطمینان از تداوم و پیوستگی داده‌های بین مشاهدات مأموریت‌های قبلی OMI، GOME-2، SCIAMACHY و Envisat و مشاهدات آینده توسط سنتینل-۵ می‌باشد (de Vries et al., 2016).

جدول ۱: باندهای مورد استفاده از تصاویر سنجنده (TROPOMI)
ماهواره سنتینل-۵ در پایش آلاینده‌ها

توضیحات باند مورد استفاده	آلاینده
غلظت ستون عمودی با واحد mol/m ²	ازن
دی‌اکسید نیتروژن	غلظت ستون عمودی تروپوسفری با واحد mol/m ²
دی‌اکسید گوگرد	غلظت ستون عمودی با واحد mol/m ²
مونوکسید کربن	غلظت ستون عمودی با واحد mol/m ²

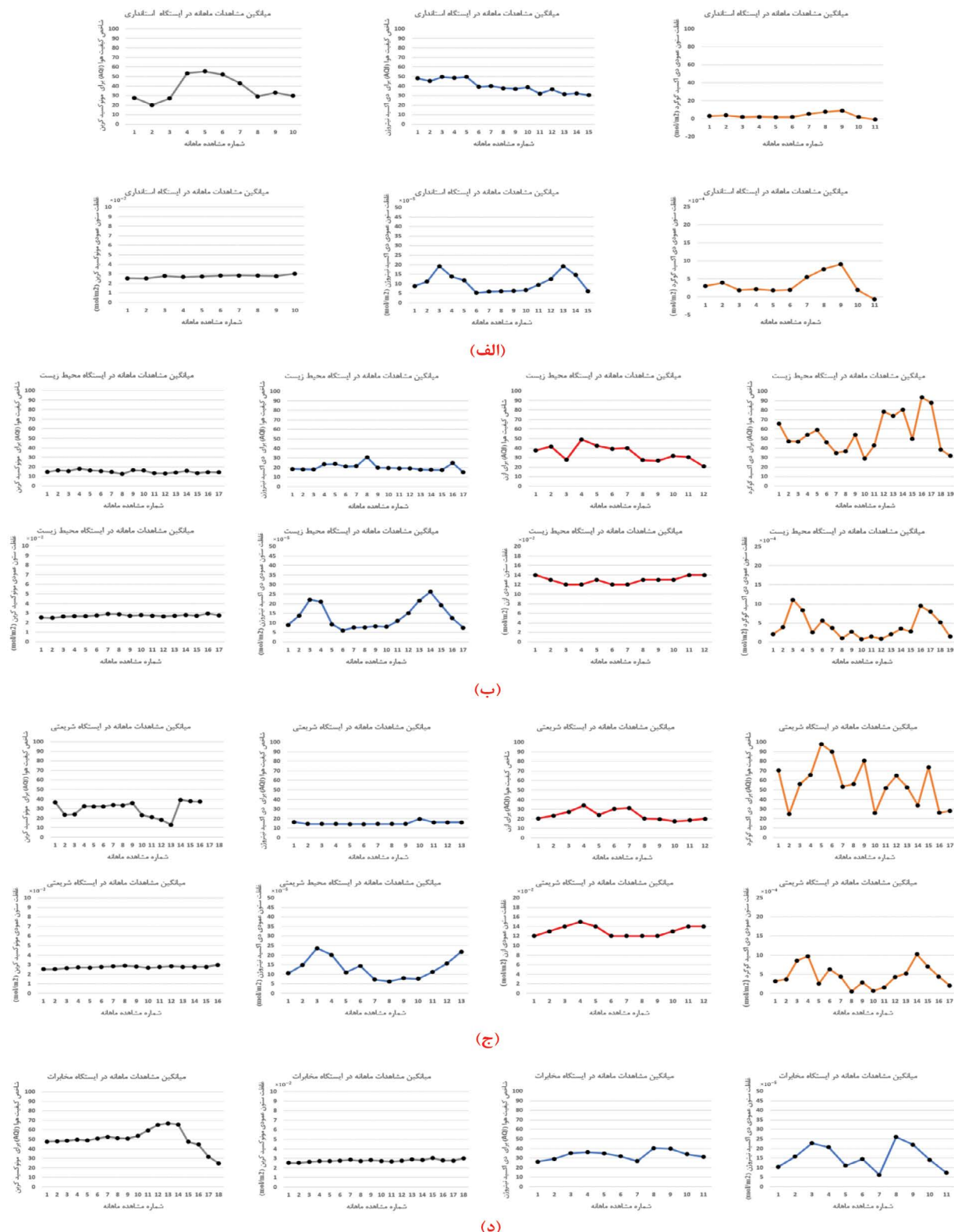
(<https://developers.google.com/earth-engine/datasets/catalog/>)

در نگاره (۳) مشاهدات صورت گرفته از آلاینده‌های هوای توسط ایستگاه‌های پایش کیفیت هوای شهرستان اراک و ماهواره سنتینل-۵ نشان داده شده است.

TROPOMI به صورت روزانه، با قدرت تفکیک مکانی ۷ کیلومتر × ۳/۵ کیلومتر از اتمسفر زمین تصویربرداری می‌کند که ۱۳ برابر بهتر از OMI است (Shikwambana et al., 2020). تصاویر به دست آمده از TROPOMI دارای ۸ باند است که چندین محدوده طیفی فرابنفش (UV)، نزدیک به مادون قرمز (NIR) و مادون قرمز با طول موج کوتاه (SWIR) را پوشش می‌دهد (Lorente et al., 2019). سنجنده TROPOMI قابلیت بالایی در تصویربرداری و پایش تعداد زیادی از آلاینده‌ها دارد. تصاویر این آلاینده‌ها را می‌توان با سه حالت مختلف در حالت زمان تقریباً آنی^۲، حالت آفلاین و حالت پردازش مجدد دریافت نمود. داده‌های حالت تقریباً آنی، در مدت ۳ ساعت پس از اخذ اطلاعات و داده‌های آفلاین و پردازش مجدد چند روز پس از تصویربرداری در دسترس

فصلنامه علمی - پژوهشی اطلاعات جغرافیایی (سپر) دوره ۳۱، شماره ۱۲۲، تابستان ۱۴۰۱، فصلنامه علمی - پژوهشی اطلاعات جغرافیایی (سپر) دوره ۳۱، شماره ۱۲۲، تابستان ۱۴۰۱

Scientific - Research Quarterly of Geographical Data (SEPEHR) Vo.31, No.122, Summer 2022 / ۳۰



نگاره ۳: پایش غلظت آلاینده‌ها در موقعیت استگاه‌های استانداری (الف)، محیط زیست (ب)، شریعتی (ج) و مخابرات (د) توسط استگاه‌های زمینی و تصاویر ماهواره‌ای

فصلنامه علمی - پژوهشی اطلاعات جغرافیایی (۲۰۲۰)

ارائه روشی مبتنی بر ترکیب و رأی‌گیری با هدف تحلیل مشاهدات ماهانه ایستگاه‌های پایش ... / ۳۱

$$nC_k = \binom{n}{k} = \frac{n!}{k!(n-k)!}, \quad n = 4 : k \quad \text{رابطه (۲)}$$

که در واقع nC_k تعداد حالت‌های انتخاب مجموعه به اندازه n از مجموعه کل مشاهدات می‌باشد. شروع فرآیند نیز حداقل با چهار مشاهده ماهانه شروع می‌شود. بنابراین برای یک ایستگاه و آلینده مشخص رابطه (۳) محاسبه می‌شود:

$$L_T = \left\{ L_{G1}, L_{G2}, \dots, L_{G_{nC_k}} \mid \rho_{L_{G_{nC_k}}, L_S \rightarrow Max} \right\}, \quad n = 4 : k \quad \text{رابطه (۳)}$$

در نتیجه اگر فرض شود تمام ۱۹ مشاهده ماهانه بازه مورد مطالعه موجود باشد، براساس رابطه (۳) ۱۶ زیرمجموعه صحیح یا همان L_T به دست می‌آید (با تعداد مشاهدات ۴ تا ۱۹) که ضریب همبستگی خطی به ازای آن مجموعه از مشاهدات زمینی و متاظر ماهواره‌ای آن‌ها مانکیم هست و نشان از صحت مشاهدات دارد.

مرحله دوم روش پیشنهادی رأی‌گیری می‌باشد. در این مرحله مشخص می‌شود که مشاهدات زمینی هر ماه (به عنوان مثال مشاهدات مهر ماه ۱۳۹۸) چند بار در این مجموعه از L_T ها تکرار شده است. تکرار زیاد یک مشاهده ماهانه نشان از صحت آن دارد و مشخص می‌کند در جایگشت‌های مختلف، حضور این مشاهده خاص موجب افزایش ضریب همبستگی خطی مشاهدات شده است. بنابراین اگر به عنوان مثال مشاهده مهر ماه ۱۳۹۸ ایستگاه زمینی ۱۵ یا ۱۶ بار تکرار شده باشد نشان‌دهنده صحت بالای این مشاهده است. در بخش بعدی نتایج حاصل از پیاده‌سازی روش پیشنهادی نمایش داده شد و مورد بحث و بررسی قرار می‌گیرد.

۳- نتایج و بحث

در این بخش، نتایج تعداد تکرار مشاهدات ماهانه در نگاره‌های (۴) الی (۷) نشان داده شده است.

۴- روش پیشنهادی

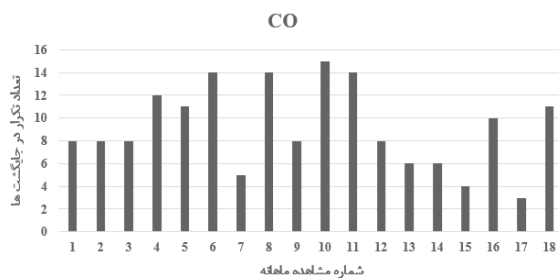
مفاهیم جایگشت، ترکیب و رأی‌گیری در بسیاری از کاربردهای سنجش از دور استفاده شده است (Frantz, 2016; Shen, 2018) در اینجا از این مفاهیم برای ارائه روشی به منظور تشخیص مشاهدات با صحت پایین ایستگاه‌های پایش کیفیت هوا با کمک تصاویر ماهواره سنتیل-۵ استفاده شده است.

با توجه به اینکه رزولوشن زمانی مشاهدات زمینی بالاتر از مشاهدات ماهواره‌ای (رزولوشن زمانی مشاهدات توسط ماهواره سنتیل-۵ تا سه مشاهده در روز) می‌باشد، برای افزایش اطمینان‌پذیری مشاهدات، از غلطت روزانه آلینده‌ها میانگین‌گیری شده است و نتایج به صورت ماهانه ارائه می‌شوند. به عبارتی غلطت آلینده‌ها به صورت ماهانه با یکدیگر مقایسه می‌شوند. در روش پیشنهادی فرض بر آن است که آن دسته از مجموعه مشاهدات زمینی صحت بالاتری دارند که ضریب همبستگی خطی آن‌ها با مشاهدات ماهواره‌ای مقدار بالاتری باشد.

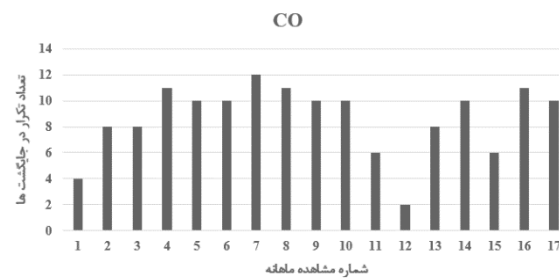
اگر مجموعه مشاهدات ایستگاه‌های زمینی با $L_G = \{l_{g1}, l_{g2}, l_{g3}, \dots, l_{gn}\}$ و مشاهدات ماهواره‌ای $L_S = \{l_{s1}, l_{s2}, l_{s3}, \dots, l_{sn}\}$ نشان داده شود، آنگاه مشاهدات صحیح زمینی عبارت است از:

$$L_T = \subseteq L_G \mid \rho_{L_G, L_S \rightarrow Max} \quad \text{رابطه (۱)}$$

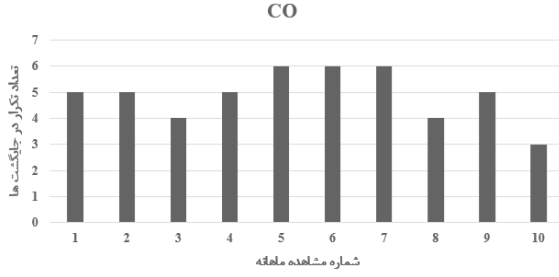
در رابطه (۱)، ρ ضریب همبستگی خطی میان مشاهدات ایستگاه‌های زمینی پایش و مشاهدات ماهواره‌ای می‌باشد. حال برای انتخاب مجموعه مناسب باید مشخص شود که از میان مشاهدات صورت گرفته از غلطت آلینده‌ها چه تعداد از آن‌ها صحت مطلوب دارند. برای این کار از یک روش مبتنی بر ترکیب و رأی‌گیری استفاده شده است. همانگونه که پیشتر اشاره شد، هر مشاهده مربوط به میانگین غلطت آلینده در یک ماه در بازه زمانی مورد مطالعه می‌باشد. اگر فرض شود تعداد کل مشاهدات ایستگاه زمینی k باشد و تعداد زیرمجموعه‌ای از آن n باشد آنگاه:



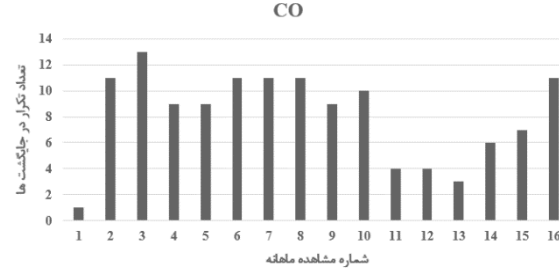
(ب)



(الف)

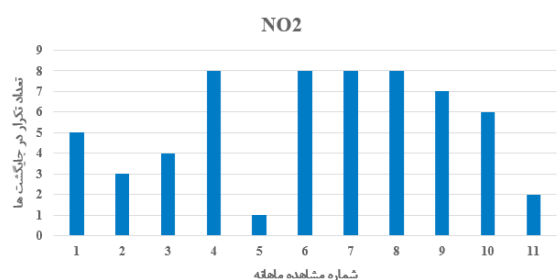


(د)

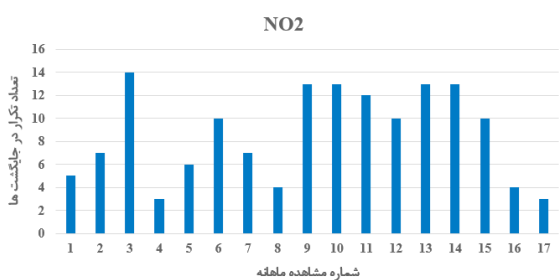


(ج)

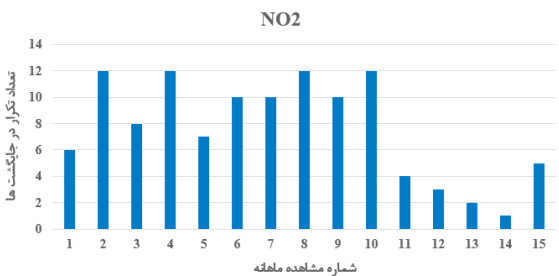
نگاره ۴: تعداد تکرار مشاهدات آلینده CO در جایگشت‌های مختلف مجموعه مشاهدات با بهترین صحت در ایستگاه‌های
 (الف) محیط زیست، (ب) مخابرات، (ج) شریعتی و (د) استانداری



(ب)



(الف)



(د)



(ج)

نگاره ۵: تعداد تکرار مشاهدات آلینده NO2 در جایگشت‌های مختلف مجموعه مشاهدات با بهترین صحت در ایستگاه‌های
 (الف) محیط زیست، (ب) مخابرات، (ج) شریعتی و (د) استانداری

فصلنامه علمی - پژوهشی اطلاعات جغرافیایی (سمر)

ارائه روشی مبتنی بر ترکیب و رأی‌گیری با هدف تحلیل مشاهدات ماهانه ایستگاه‌های پایش ...

۳۳ /



(ب)



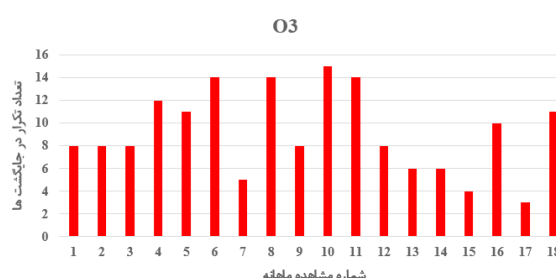
(الف)



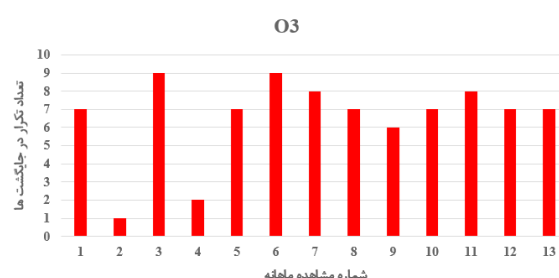
(ج)

نگاره ۶: تعداد تکرار مشاهدات آلاینده SO₂ در جایگشت‌های مختلف مجموعه مشاهدات با بهترین صحت در ایستگاه‌های

الف) محیط زیست، ب) استانداری و ج) شریعتی



(ب)



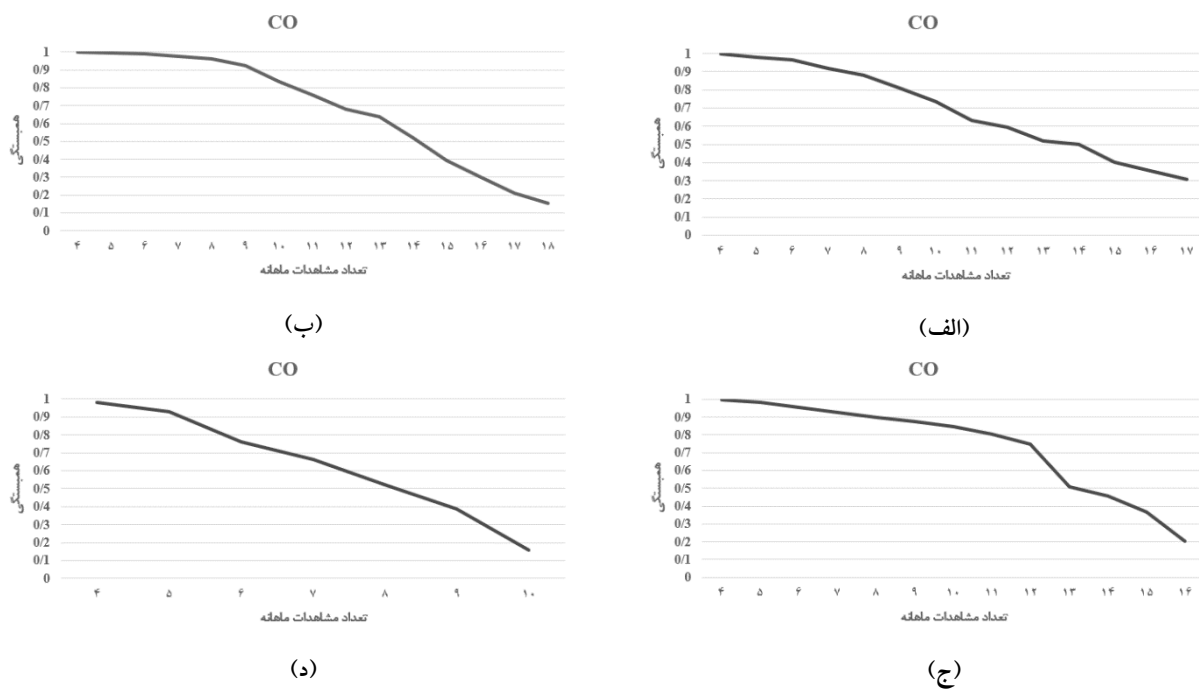
(الف)

نگاره ۷: تعداد تکرار مشاهدات آلاینده O₃ در جایگشت‌های مختلف مجموعه مشاهدات با بهترین صحت در ایستگاه‌های

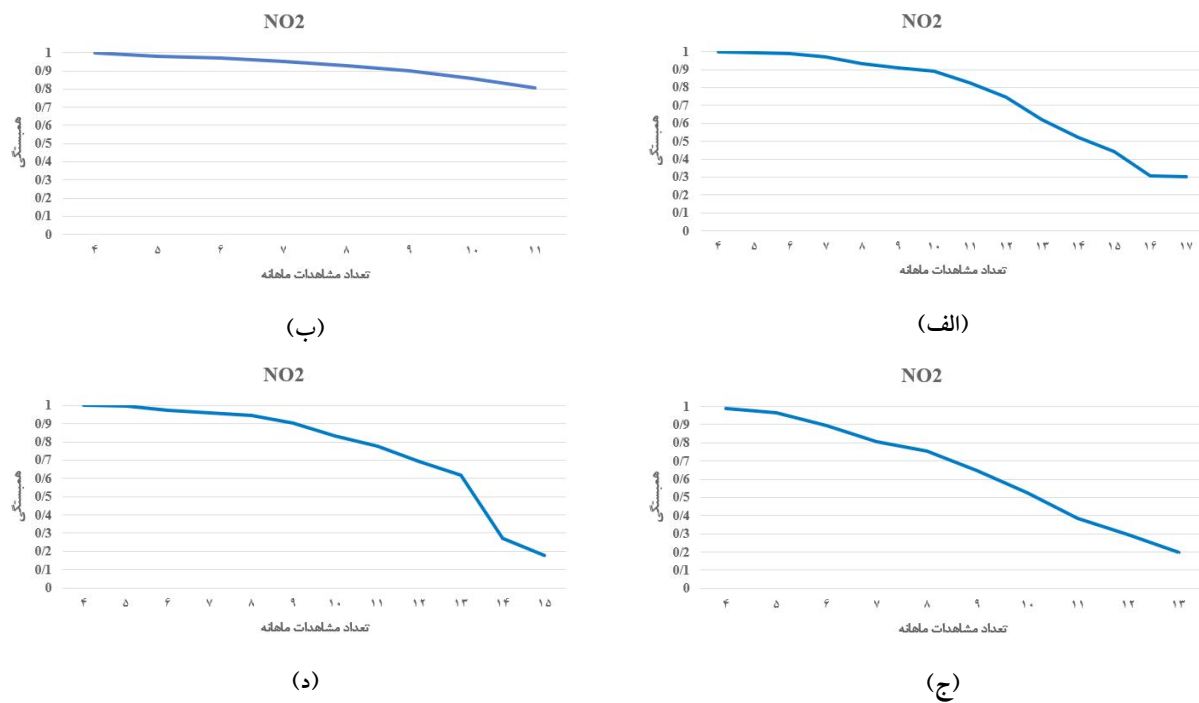
الف) محیط زیست و ب) شریعتی

همانگونه که مشاهده می‌شود در برخی ایستگاه‌ها به مشاهدات زمینی و ماهواره‌ای با افزایش تعداد مشاهدات ماهانه در نگاره‌های (۸) الی (۱۱) نشان داده شده است. در نگاره‌های (۸) الی (۱۱) مشاهده می‌شود که با افزایش تعداد مشاهدات ماهانه، ضریب همبستگی کاهش می‌یابد. طبق روش پیشنهادی به ترتیب بهترین مشاهدات در حال اضافه شدن می‌باشند (در رأی‌گیری در وضعیت مطلوب‌تری می‌باشند).

ازای آلاینده‌ها تعداد مشاهدات ماهانه کمتر از ۱۹ می‌باشد، علت این امر پیشتر نیز بیان شده است. علت این مسئله عدم پایش آلاینده توسط ایستگاه زمینی پایش کیفیت هوا به ازای کل ماه و یا اکثر روزهای ماه می‌باشد که نتایج آن ماه را نامعتبر می‌کند و در مجموعه مشاهدات وجود ندارد. در ادامه این بخش، روند تغییرات ضریب همبستگی خطی میان



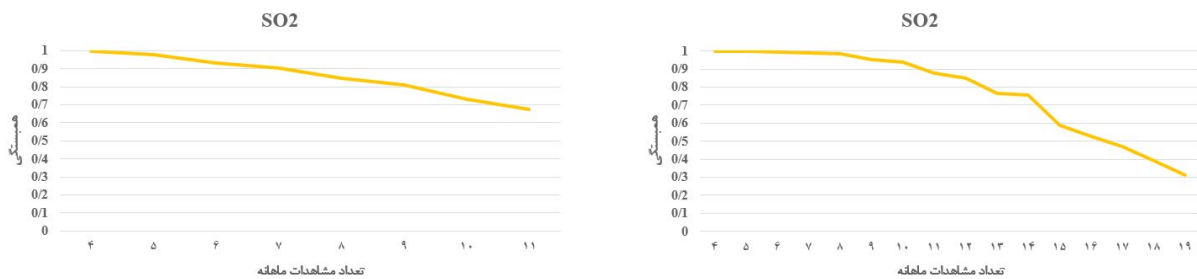
نگاره ۸: تغییرات ضریب همبستگی خطی میان مشاهدات ایستگاه‌های زمینی پایش و تصاویر ماهواره‌ای با افزایش تعداد مشاهدات ماهانه آلاینده CO با بهترین صحت در ایستگاه‌های (الف) محیط زیست، (ب) مخابرات، (ج) شریعتی و (د) استانداری



نگاره ۹: تغییرات ضریب همبستگی خطی میان مشاهدات ایستگاه‌های زمینی پایش و تصاویر ماهواره‌ای با افزایش تعداد مشاهدات ماهانه آلاینده NO₂ با بهترین صحت در ایستگاه‌های:
 (الف) محیط زیست، (ب) مخابرات، (ج) شریعتی و (د) استانداری

فصلنامه علمی - پژوهشی اطلاعات جغرافیایی (میر)

ارائه روشی مبتنی بر ترکیب و رأی‌گیری با هدف تحلیل مشاهدات ماهانه ایستگاه‌های پایش ... / ۳۵



(ب)

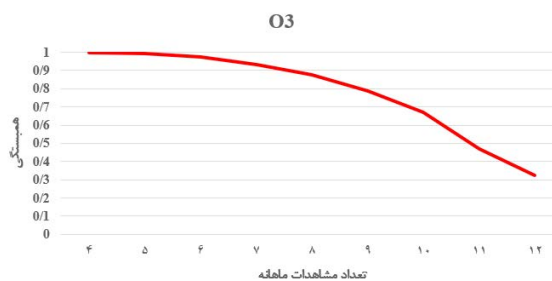


(الف)

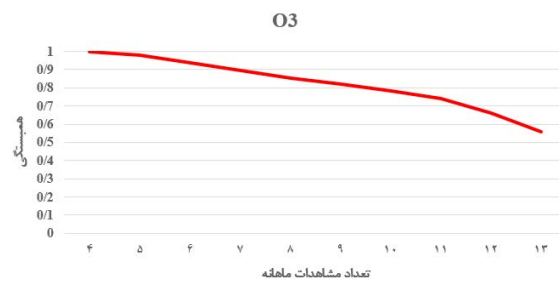


(ج)

نگاره ۱۰: تغییرات ضریب همبستگی خطی میان مشاهدات ایستگاه‌های زمینی پایش و تصاویر ماهواره‌ای با افزایش تعداد مشاهدات ماهانه آلاندنه SO_2 با بهترین صحت در ایستگاه‌های (الف) محیط زیست، (ب) استانداری و (ج) شریعتی



(ب)



(الف)

نگاره ۱۱: تغییرات ضریب همبستگی خطی میان مشاهدات ایستگاه‌های زمینی پایش و تصاویر ماهواره‌ای با افزایش تعداد مشاهدات ماهانه آلاندنه O_3 با بهترین صحت در ایستگاه‌های (الف) محیط زیست و (ب) شریعتی

$$\begin{bmatrix} L_{G1} \\ L_{G2} \\ L_{G3} \\ L_{G4} \end{bmatrix} = \begin{bmatrix} 1 & L_{S11} & L_{S11}^2 & L_{S11}^3 \\ 1 & L_{S12} & L_{S12}^2 & L_{S12}^3 \\ 1 & L_{S13} & L_{S13}^2 & L_{S13}^3 \\ 1 & L_{S14} & L_{S14}^2 & L_{S14}^3 \end{bmatrix} \cdot \begin{bmatrix} c_0 \\ c_1 \\ c_2 \\ c_3 \end{bmatrix}$$

رابطه (۴)

در رابطه (۴)، L_{S11} تا L_{S14} مشاهدات ماهواره‌ای مربوط به ۴ (این مقدار توسط اپراتور تعیین می‌شود) مشاهده

به منظور مقایسه داده‌های ایستگاه‌های زمینی پایش کیفیت هوا و داده‌های ماهواره‌ای ستینل-۵ نیاز است که هر دو دسته از مشاهدات ابتدا در یک فضای قرار بگیرند.

برای انجام این کار، از یک معادله درجه سه به منظور تبدیل مشاهدات ماهواره‌ای به فضای مشاهدات زمینی استفاده شده است. ضرایب این معادله با استفاده از رابطه (۴) تعیین می‌شود.

ماهانه با بهترین ضریب همبستگی خطی می‌باشد. همچنین L_{G4} الی L_{G1} نیز مقادیر متناظر در فضای مشاهدات زمینی هستند. می‌توان با استفاده از روش کمترین مربعات ضرایب ماتریس C را با استفاده از ماتریس مشاهدات ماهواره‌ای رابطه ۴ یعنی L_S و ماتریس مشاهدات ایستگاه‌های زمینی یعنی L_G طبق رابطه (۵) محاسبه نمود.

با مقادیر ماهواره‌ای (مقادیر اولیه اصلی) خطای جذر میانگین مربعات (RMSE) را محاسبه نمود. RMSE یکی از معیارهای ارزیابی دقت می‌باشد. در بسیاری از کاربردها از جمله سنجش از دوری از این معیار برای ارزیابی دقت استفاده می‌شود (Moradi & Ghannadi, 2020).

در اینجا نیز برای ارزیابی روش پیشنهادی، RMSE در دو حالت محاسبه شده است، یکی محاسبه RMSE در حالت اولیه و بدون حذف داده‌های با صحت پایین (یا همان اشتباها) و دیگری محاسبه آن پس از حذف داده‌های با صحت پایین. به منظور محاسبه RMSE از رابطه (۷) استفاده شده است.

$$RMSE = \sqrt{\frac{\sum_{i=1}^N (L_G - L'_G)^2}{N}} \quad (7)$$

در این رابطه L_G مشاهدات ایستگاه‌های زمینی و مشاهدات متناظر تبدیل شده زمینی می‌باشد. جدول (۲) مقادیر RMSE در صورت حضور اشتباها و بدون حضور آنها را با یکدیگر مقایسه کرده است.

ملاک اشتباه بودن در نتایج نمایش داده شده در جدول (۱)، آن دسته از مشاهداتی می‌باشد بعد از اضافه شدن آنها

$$C = (L_S^T \cdot L_S)^{-1} \cdot L_S^T \cdot L_G \quad (5)$$

پس از تعیین ضرایب چهارگانه c_0 الی c_3 می‌توان با استفاده از رابطه (۶) تمام مشاهدات ماهواره‌ای را به فضای زمینی تبدیل نمود.

$$\begin{bmatrix} L'_{G1} \\ L'_{G2} \\ \vdots \\ L'_{Gn} \end{bmatrix} = \begin{bmatrix} 1 & L_{S1} & L_{S1}^2 & L_{S1}^3 \\ 1 & L_{S2} & L_{S2}^2 & L_{S2}^3 \\ \vdots & \vdots & \ddots & \vdots \\ 1 & L_{Sn} & L_{Sn}^2 & L_{Sn}^3 \end{bmatrix} \cdot \begin{bmatrix} c_0 \\ c_1 \\ c_2 \\ c_3 \end{bmatrix} \quad (6)$$

در رابطه (۶)، L'_G مقادیر تبدیل شده زمینی (از مشاهدات ماهواره‌ای) می‌باشد. در ادامه می‌توان با تبدیل مشاهدات ماهواره‌ای به مشاهدات زمینی و مقایسه آن

جدول (۲): ارزیابی دقت مشاهدات ایستگاه‌های زمینی پایش قبل و بعد از حذف مشاهدات اشتباه

نام ایستگاه	نام آلاینده	تعداد مشاهدات با صحت پایین	RMSE قبل از حذف اشتباها	RMSE بعد از حذف اشتباها	بهبود در RMSE
مخابرات	NO2	۰	۲/۶۳	۲/۶۳	۰ %
	CO	۴	۹/۳۰	۱۰/۱	۸/۲ %
	NO2	۳	۱/۳۱	۱/۴۵	۹/۶ %
	SO2	۴	۱۴/۰۹	۲۰/۹۷	۳۲/۸ %
	CO	۳	۶/۱۴	۷/۳۴	۱۶/۲ %
	O3	۲	۲	۳/۷۸	٪۴۷
شریعتی	NO2	۳	۳/۳۶	۳/۴۲	۱/۹ %
	SO2	۳	۱۵/۹۴	۱۷/۷۰	۱۰ %
	CO	۴	۱/۳۷	۱/۴۹	۸/۲ %
	O3	۰	۵/۵۳	۵/۵۳	۰ %
	NO2	۲	۵/۸۴	۶/۳۵	۸ %
	SO2	۰	۱۲/۱۷	۱۲/۱۷	۰ %
استانداری	CO	۲	۶/۶۸	۸/۷۸	۲۳/۹ %

فصلنامه علمی - پژوهشی اطلاعات جغرافیایی (۸۷)

ارائه روشی مبتنی بر ترکیب و رأی‌گیری با هدف تحلیل مشاهدات ماهانه ایستگاه‌های پایش ... / ۳۷

بالای تغییرات سطح آلاینده‌ها در مشاهدات روزانه در قیاس با مشاهدات ماهانه به دلیل تأثیر آنی پارامترهای هواشناسی بهویژه باران و باد بر آلاینده‌گی، از مهر ماه ۱۳۹۸ الی اسفند ۱۳۹۹، روز آلوده از نظر آلاینده‌دی اکسید گوگرد انتخاب شده و مقایسه‌ای میان برخی از مشاهدات روزانه صورت گرفته توسط سنجنده TROPOMI و سیستم پایش زمینی در موقعیت دو ایستگاه شریعتی و محیط زیست انجام گرفته است. نتایج این پایش در جدول (۳) نشان داده شده است. همچنین در نگاره (۱۲) نمودار برخی مشاهدات روزانه صورت گرفته توسط سنجنده TROPOMI (الف) و سامانه پایش زمینی (ب) در موقعیت ایستگاه‌های شریعتی و محیط زیست با یکدیگر مقایسه شده است.

در نگاره (۱۲-ب) نشان داده شده است، علیرغم فاصله

نه‌چندان زیاد دو ایستگاه شهرداری و محیط زیست، تفاوت

به مجموعه مشاهدات، ضریب همبستگی خطی به زیر ۵۰٪ (این حدآستانه توسط اپراتور تعیین می‌شود) بررسد. همانگونه که ملاحظه می‌شود در مشاهدات صورت گرفته، برخی از قرائت‌ها در ایستگاه‌های زمینی پایش کیفیت هوا سختی با سایر مشاهدات زمینی و مشاهدات ماهواره‌ای ندارند و حذف آن‌ها از مجموعه مشاهدات باعث افزایش همبستگی میان مشاهدات زمینی و ماهواره‌ای می‌شود. به عنوان نمونه، براساس روش پیشنهادی، سه مشاهده آلاینده SO_2 در ماههای آذر ۹۸، شهریور و آبان ۹۹ مربوط به ایستگاه محیط زیست از صحت پایین‌تری برخوردار هستند، به شکلی که همانگونه که در نگاره (۶) نشان داده شده است تعداد تکرار آن‌ها در جایگشت‌ها پایین‌تر از سایر مشاهدات ماهانه است و حضور آن‌ها در مجموعه مشاهدات باعث کاهش ضریب همبستگی خطی به زیر ۵۰٪ می‌شود. با توجه به فرکانس

جدول ۳: مقایسه‌ای میان برخی از مشاهدات روزانه صورت گرفته توسط سنجنده TROPOMI و سیستم پایش زمینی

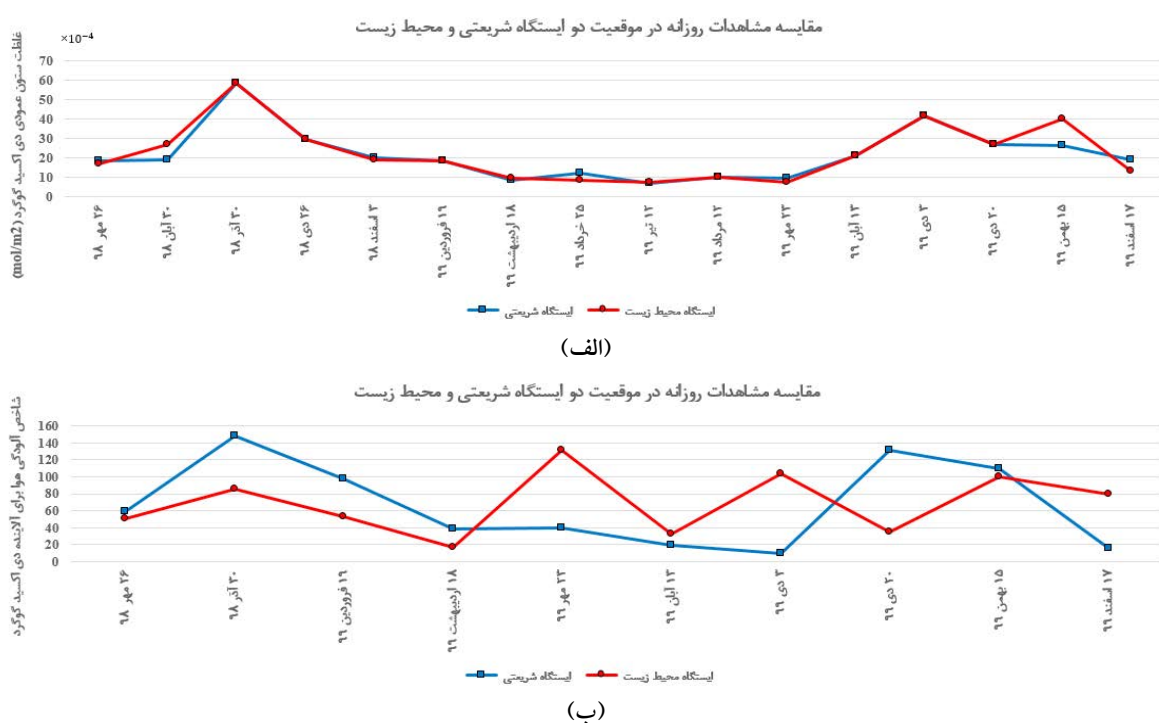
در موقعیت دو ایستگاه شریعتی و محیط زیست

موقعیت ایستگاه محیط زیست		موقعیت ایستگاه شریعتی		تاریخ
ایستگاه زمینی (شاخص آلودگی)	TROPOMI (mol/m ²) × 10 ⁻⁴	ایستگاه زمینی (شاخص آلودگی)	TROPOMI (mol/m ²) × 10 ⁻⁴	
۵۰	۱۶/۸	۵۹	۱۸/۳	۱۳۹۸/۰۷/۲۶
-	۲۷	-	۱۹	۱۳۹۸/۰۸/۳۰
۸۶	۵۸/۳	۱۴۸	۵۸/۳	۱۳۹۸/۰۹/۳۰
-	۲۹/۶	۵۷	۲۹/۶	۱۳۹۸/۱۰/۲۶
-	۱۸/۸	-	۲۰	۱۳۹۸/۱۲/۰۳
۵۳	۱۸/۲	۹۷	۱۸/۲	۱۳۹۹/۰۱/۱۹
۱۷	۹/۵	۳۹	۸/۵	۱۳۹۹/۰۲/۱۸
۸۶	۸/۲	-	۱۲	۱۳۹۹/۰۳/۲۵
-	۷/۳	-	۶/۹	۱۳۹۹/۰۴/۱۲
-	۱۰	-	۹/۹	۱۳۹۹/۰۵/۱۲
۴۹	۳/۴	-	۶/۸	۱۳۹۹/۰۷/۱۶
۱۳۱	۷/۵	۴۰	۹/۴	۱۳۹۹/۰۷/۲۲
۳۲	۲۰/۸	۱۹	۲۰/۸	۱۳۹۹/۰۸/۲۸
۱۰۳	۴۱/۴	۹	۴۱/۴	۱۳۹۹/۱۰/۰۳
۱۳۱	۲۷	۳۵	۲۷	۱۳۹۹/۱۰/۲۰
۱۱۰	۴۰	۱۱۰	۲۶/۲	۱۳۹۹/۱۱/۱۵
۷۹	۱۳/۲	۱۶	۱۹/۱	۱۳۹۹/۱۲/۱۷

۴- نتیجه‌گیری

امروزه آلودگی هوا یکی از مهم‌ترین چالش‌ها در ایران به‌شمار می‌رود و همچنین نقش عمده‌ای در تغییرات اقلیم کشور ایفا می‌کند. عواملی همچون رشد جمعیت و پیرو آن افزایش خودرو و همچنین وجود صنایع متعدد (و غالباً قدیمی) و تقاضای انرژی مربوط به آن در ایران منجر به افزایش روند آلودگی در بسیاری از کلان‌شهرهای کشور شده است. شهرستان اراک یکی از چهار قطب صنعتی کشور محسوب می‌شود و از این‌رو هوای آن یکی از آلوده‌ترین‌ها در ایران است. علاوه‌بر صنعتی بودن، تراکم نسبتاً بالای جمعیتی (و به تبع آن شرایط ترافیکی بالا) و شرایط اقلیمی نیز بر کیفیت هوای اراک مؤثر است. اندازه‌گیری دقیق آلاینده‌های هوای با قدرت تفکیک مکانی و زمانی بالا برای تعیین چگونگی توزیع و اثرگذاری آن‌ها و همچنین، ارائه راهکارهایی برای مدیران در سطح استانی و ملی امری ضروری محسوب می‌شود. متأسفانه در ایران ایستگاه‌های

معنی‌داری میان پایش صورت گرفته میان دو ایستگاه از غلظت دی‌اکسید گوگرد در برخی از روزها مشاهده می‌شود. به عنوان نمونه یکی از آلوده‌ترین روزها به لحاظ کیفیت هوای در شهر اراک مربوط به تاریخ سوم دی ۱۳۹۹ می‌باشد. همانگونه که نشان داده شده، سنجنده TROPOMI غلظت این آلاینده را مقدار 41×10^{-4} مول بر مترمربع به ازای ایستگاه‌های شریعتی و محیط زیست مشاهده کرده است. این در حالی است که شاخص آلودگی هوا در این تاریخ در ایستگاه محیط زیست عدد 10^3 را نشان می‌دهد، اما این مقدار برای ایستگاه شریعتی مقدار ۹ می‌باشد که مطمئناً صحیح نیست و یا اینکه به دلایل مختلف نتوانسته واقعیت هوای این روز شهرستان اراک را به درستی اندازه‌گیری نماید. بنابراین ضروری به نظر می‌رسد که علاوه بر مشاهدات ماهانه ایستگاه‌های پایش کیفیت هوای مشاهدات روزانه نیز می‌باشد به صورت جدی مورد مطالعه و صحت‌سنجی قرار بگیرد.



فصلنامه علمی - پژوهشی اطلاعات جغرافیایی (میر)

ارائه روشی مبتنی بر ترکیب و رأی‌گیری با هدف تحلیل مشاهدات ماهانه ایستگاه‌های پایش ... / ۳۹

شده است. مشاهده شد که برخی از قرائت‌ها در ایستگاه‌های زمینی پایش کیفیت هوا سنتیتی با سایر مشاهدات زمینی و مشاهدات ماهواره‌ای ندارند و حذف آن‌ها از مجموعه مشاهدات باعث افزایش همبستگی میان مشاهدات زمینی و ماهواره‌ای می‌شود. با حذف مشاهدات اشتباہ از مجموعه مشاهدات، **RMSE** از ۴۷٪ تا ۲٪ بهبود می‌یابد.

در کار تحقیقاتی حاضر، این نتیجه حاصل شد که برخی از مشاهدات ایستگاه‌های زمینی پایش صحیح نمی‌باشد و یا لاقل می‌توان اینگونه بیان نمود که به علت بی‌نظمی‌های محلی ناشی از علل مختلف از جمله مکانیابی نامناسب نصب و یا عدم کالیبراسیون مناسب، نتوانسته‌اند واقعیتی از روند کلی آلودگی محیط اطراف را به شکل صحیح ارائه دهند. بنابراین با توجه به نتایج رضایت بخش داده‌های ماهواره‌ای سنتیل-۵ می‌توان در مناطقی که داده‌ای برای ایستگاه‌های پایش کیفیت هوا وجود ندارد و یا در صحت مشاهدات آن‌ها تردید وجود دارد از مشاهدات ماهواره‌ای برای پایش هرچه بهتر آلاینده‌های هوا بهره برد.

۵- تشکر و قدردانی

این اثر تحت حمایت مادی صندوق حمایت از پژوهشگران و فناوران کشور (INSF) برگرفته شده از طرح شماره ۹۹۰۳۰۴۱۴ انجام شده است.

منابع و مأخذ

۱- سپهرنیا، شهرام، (۱۳۹۴)، دوره آموزشی راهبری ایستگاه‌های پایش کیفی هوای محیط، سازمان حفاظت محیط زیست

- 2- Aljammaz, A., Sultan, M., Izadi, M., Abotalib, A. Z., Elhebiry, M. S., Emil, M. K., Abdelmohsen, K., Saleh, M., & Becker, R. (2021). Land Subsidence Induced by Rapid Urbanization in Arid Environments: A Remote Sensing-Based Investigation. *Remote Sensing*, 1109, (6) 13.
- 3- Borsdorff, T., Aan de Brugh, J., Hu, H., Aben, I., Hasekamp, O., & Landgraf, J. (2018). Measuring carbon monoxide with TROPOMI: First results and a comparison

پایش کیفیت هوا تعداد و توزیع مناسبی ندارند. در بسیاری از شهرهای ایران حتی یک ایستگاه پایش هوا وجود ندارد و در بسیاری از شهرها نیز تنها یک ایستگاه وجود دارد. در اراک به عنوان مرکز استان مرکزی و شهری صنعتی، تنها چهار ایستگاه پایش وجود دارد و این در حالی است که در بسیاری از زمان‌ها همه آن‌ها در وضعیت فعلی قرار ندارند. عدم مکانیابی مناسب بهمنظر نصب ایستگاه‌های زمینی پایش، باعث بی‌نظمی‌های محلی در مشاهده غلظت آلاینده‌ها می‌شود. عدم کالیبراسیون به موقع این ایستگاه‌ها نیز موجب اختلال در مشاهدات کیفیت هوا می‌شود. در این موقع این داده‌ها از نتایج حذف می‌شوند و یا ایستگاه توسط مسئولین ذیربسط در وضعیت غیرفعال قرار می‌گیرد (به عنوان نمونه به مدت یک هفته یا یک ماه). به نظر می‌رسد که در میان مشاهدات این ایستگاه‌ها داده‌های ناصحیح وجود دارد.

در این پژوهش، روشی بر پایه ترکیب و رأی‌گیری برای صحبت‌سنگی مشاهدات ایستگاه‌های پایش کیفیت هوا با استفاده از تصاویر ماهواره‌ای سنتیل-۵ ارائه شد. شهرستان اراک به عنوان منطقه مورد مطالعه انتخاب شد. بهمنظر پایش غلظت آلاینده‌ها در این مقاله از تصاویر سطح سه (L3) سنجنده TROPOMI ماهواره سنتیل-۵ که از سامانه گوگل ارث انجین دریافت شده است، استفاده شد. ماهواره سنتیل-۵ یک ابزار قدرتمند در زمینه پایش اتمسفر می‌باشد. این ماهواره دارای یک طیف‌سنج به نام TROPOMI بوده که تابش اشعه ماوراء ب نفس زمین را در طیفی بالا اندازه‌گیری می‌کند. سنجنده TROPOMI قابلیت بالایی در تصویربرداری و پایش تعداد زیادی از آلاینده‌ها دارد.

در این مطالعه پایش انجام شده چهار آلاینده NO_2 , SO_2 , CO و ازن توسط ایستگاه‌های زمینی شهرستان اراک و تصاویر سنتیل-۵ به مدت ۱۹ ماه با یکدیگر مقایسه شدند. بهوسیله روش پیشنهادی برخی از مشاهدات به عنوان مشاهدات ناصحیح یا همان اشتباہ تشخیص داده شده‌اند. برای ارزیابی دقت روش پیشنهادی از معیار **RMSE** استفاده

- A. (2020). A method for Sentinel-1 DEM outlier removal using 2-D Kalman filter. *Geocarto International*, 1-15.
- 14- Ghude, S. D., Chate, D., Jena, C., Beig, G., Kumar, R., Barth, M., Pfister, G., Fadnavis, S., & Pithani, P. (2016). Premature mortality in India due to PM2. 5 and ozone exposure. *Geophysical Research Letters*, 43(9), 4650-4658.
- 15- Hedelt, P., Efremenko, D. S., Loyola, D. G., Spurr, R., & Clarisse, L. (2019). Sulfur dioxide layer height retrieval from Sentinel-5 Precursor/TROPOMI using FP_ ILM. *Atmospheric Measurement Techniques*, 12(10).
- 16- Ialongo, I., Virta, H., Eskes, H., Hovila, J., & Douros, J. (2020). Comparison of TROPOMI/Sentinel-5 Precursor NO₂ observations with ground-based measurements in Helsinki. *Atmospheric Measurement Techniques*, 13(1).
- 17- Islam, M. S., Tusher, T. R., Roy, S., & Rahman, M. (2021). Impacts of nationwide lockdown due to COVID-19 outbreak on air quality in Bangladesh: a spatiotemporal analysis. *Air Quality, Atmosphere & Health*, 14(3), 351-363.
- 18- Jeong, U., & Hong, H. (2021). Assessment of Tropospheric Concentrations of NO₂ from the TROPOMI/Sentinel-5 Precursor for the Estimation of Long-Term Exposure to Surface NO₂ over South Korea. *Remote Sensing*, 13(10), 1877.
- 19- Lelieveld, J., Evans, J. S., Fnais, M., Giannadaki, D., & Pozzer, A. (2015). The contribution of outdoor air pollution sources to premature mortality on a global scale. *Nature*, 525(7569), 367-371.
- 20- Lorente, A., Boersma, K., Eskes, H., Veefkind, J., Van Geffen, J., de Zeeuw, M., van der Gon, H. D., Beirle, S., & Krol, M. (2019). Quantification of nitrogen oxides emissions from build-up of pollution over Paris with TROPOMI. *Scientific reports*, 9(1), 1-10.
- 21- Magro, C., Nunes, L., Gonçalves, O. C., Neng, N. R., Nogueira, J. M., Rego, F. C., & Vieira, P. (2021). Atmospheric Trends of CO and CH₄ from Extreme Wildfires in Portugal Using Sentinel-5P TROPOMI Level-2 Data. *Fire*, 4(2), 25.
- 22- Moradi, A. R., & Ghannadi, M. A. (2020). Presenting a method for the improvement of Sentinel-1 generated DEM, using SRTM and 2D wavelet transform. *Scientific with ECMWF-IIFS analysis data. *Geophysical Research Letters*, 45(6), 2826-2832.*
- 4- Bray, C. D., Nahas, A., Battye, W. H., & Aneja, V. P. (2021). Impact of lockdown during the COVID-19 outbreak on multi-scale air quality. *Atmospheric Environment*, 254, 118386.
- 5- Caiazzo, F., Ashok, A., Waitz, I. A., Yim, S. H., & Barrett, S. R. (2013). Air pollution and early deaths in the United States. Part I: Quantifying the impact of major sectors in 2005. *Atmospheric Environment*, 79, 198-208.
- 6- Chowdhury, S., & Dey, S. (2016). Cause-specific premature death from ambient PM2. 5 exposure in India: Estimate adjusted for baseline mortality. *Environment international*, 91, 283-290.
- 7- Cooper, M. J., Martin, R. V., McLinden, C. A., & Brook, J. R. (2020). Inferring ground-level nitrogen dioxide concentrations at fine spatial resolution applied to the TROPOMI satellite instrument. *Environmental Research Letters*, 15(10), 104013.
- 8- de Vries, J., Voors, R., Ording, B., Dingjan, J., Veefkind, P., Ludewig, A., Kleipool, Q., Hoogeveen, R., & Aben, I. (2016). TROPOMI on ESA's Sentinel 5p ready for launch and use. *Fourth International Conference on Remote Sensing and Geoinformation of the Environment (RSCy2016)*,
- 9- Fan, C., Li, Y., Guang, J., Li, Z., Elnashar, A., Allam, M., & de Leeuw, G. (2020). The impact of the control measures during the COVID-19 outbreak on air pollution in China. *Remote Sensing*, 12(10), 1613.
- 10- Frantz, D., Röder, A., Udelhoven, T., & Schmidt, M. (2016). Forest disturbance mapping using dense synthetic landsat/MODIS time-series and permutation-based disturbance index detection. *Remote Sensing*, 8(4), 277.
- 11- Ghahremanloo, M., Lops, Y., Choi, Y., & Mousavinezhad, S. (2021). Impact of the COVID-19 outbreak on air pollution levels in East Asia. *Science of The Total Environment*, 754, 142226.
- 12- Ghannadi, M., Shahri, M., & Moradi, A. (2021). Modeling The Effect of Nitrogen Dioxide Produced In Shazand Power Plant Upon Air Pollution In Arak, Iran Using Sentinel-5 Satellite Data.
- 13- Ghannadi, M. A., Alebooye, S., Izadi, M., & Moradi,

فصلنامه علمی - پژوهشی اطلاعات جغرافیایی (SEPEHR)

ارائه روشی مبتنی بر ترکیب و رأی‌گیری با هدف تحلیل مشاهدات ماهانه ایستگاه‌های پایش ... / ۴۱

- Vahter, K., & Paavel, B. (2017). Mapping water quality parameters with sentinel-3 ocean and land colour instrument imagery in the Baltic Sea. *Remote Sensing*, 9(10), 1070.
- 32- Vigouroux, C., Langerock, B., Bauer Aquino, C. A., Blumenstock, T., Cheng, Z., De Mazière, M., De Smedt, I., Grutter, M., Hannigan, J. W., & Jones, N. (2020). TROPOMI–Sentinel-5 Precursor formaldehyde validation using an extensive network of ground-based Fourier-transform infrared stations. *Atmospheric Measurement Techniques*, 13(7), 3751-3767.
- 33- Vîrghileanu, M., Săvulescu, I., Mihai, B.-A., Nistor, C., & Dobre, R. (2020). Nitrogen Dioxide (NO₂) Pollution Monitoring with Sentinel-5P Satellite Imagery over Europe during the Coronavirus Pandemic Outbreak. *Remote Sensing*, 12(21), 3575.
- Research Quarterly of Geographical Data (SEPEHR), 29(115), 35-48.
- 23- Omrani, H., Omrani, B., Parmentier, B., & Helbich, M. (2020). Spatio-temporal data on the air pollutant nitrogen dioxide derived from Sentinel satellite for France. *Data in brief*, 28, 105089.
- 24- Phiri, D., Simwanda, M., Salekin, S., Nyirenda, V. R., Murayama, Y., & Ranagalage, M. (2020). Sentinel-2 data for land cover/use mapping: a review. *Remote Sensing*, 12(14), 2291.
- 25- Quesada-Ruiz, S., Attié, J.-L., Lahoz, W. A., Abida, R., Ricaud, P., Amraoui, L. E., Zbinden, R., Piacentini, A., Joly, M., & Eskes, H. (2020). Benefit of ozone observations from Sentinel-5P and future Sentinel-4 missions on tropospheric composition. *Atmospheric Measurement Techniques*, 13(1), 131-152.
- 26- Safarianzengir, V., Sobhani, B., Yazdani, M. H., & Kianian, M. (2020). Monitoring, analysis and spatial and temporal zoning of air pollution (carbon monoxide) using Sentinel-5 satellite data for health management in Iran, located in the Middle East. *AIR QUALITY ATMOSPHERE AND HEALTH*.
- 27- Saxena, P., & Naik, V. (2018). Air pollution: sources, impacts and controls. CABI.
- 28- Shen, H., Lin, Y., Tian, Q., Xu, K., & Jiao, J. (2018). A comparison of multiple classifier combinations using different voting-weights for remote sensing image classification. *International journal of remote sensing*, 39(11), 3705-3722.
- 29- Shikwambana, L., Mhangara, P., & Mbatha, N. (2020). Trend analysis and first-time observations of sulphur dioxide and nitrogen dioxide in South Africa using TROPOMI/Sentinel-5 P data. *International Journal of Applied Earth Observation and Geoinformation*, 91, 102130.
- 30- Theys, N., Hedelt, P., De Smedt, I., Lerot, C., Yu, H., Vlietinck, J., Pedergnana, M., Arellano, S., Galle, B., & Fernandez, D. (2019). Global monitoring of volcanic SO₂ degassing with unprecedented resolution from TROPOMI onboard Sentinel-5 Precursor. *Scientific reports*, 9(1), 1-10.
- 31- Toming, K., Kutser, T., Uiboupin, R., Arikas, A.,

